

9300 Cabalgamiento del Cerro de Jarcas.(1)- Caliza oolítica del Dogger.(2)- Calizas nodulosas (facies ammonítico rosso) del Malm.(3)- Margas y margocalizas del Cretácico inferior.(4)- Carniolas y dolomías del Lías inferior.(5) Cerro de Jarcas.



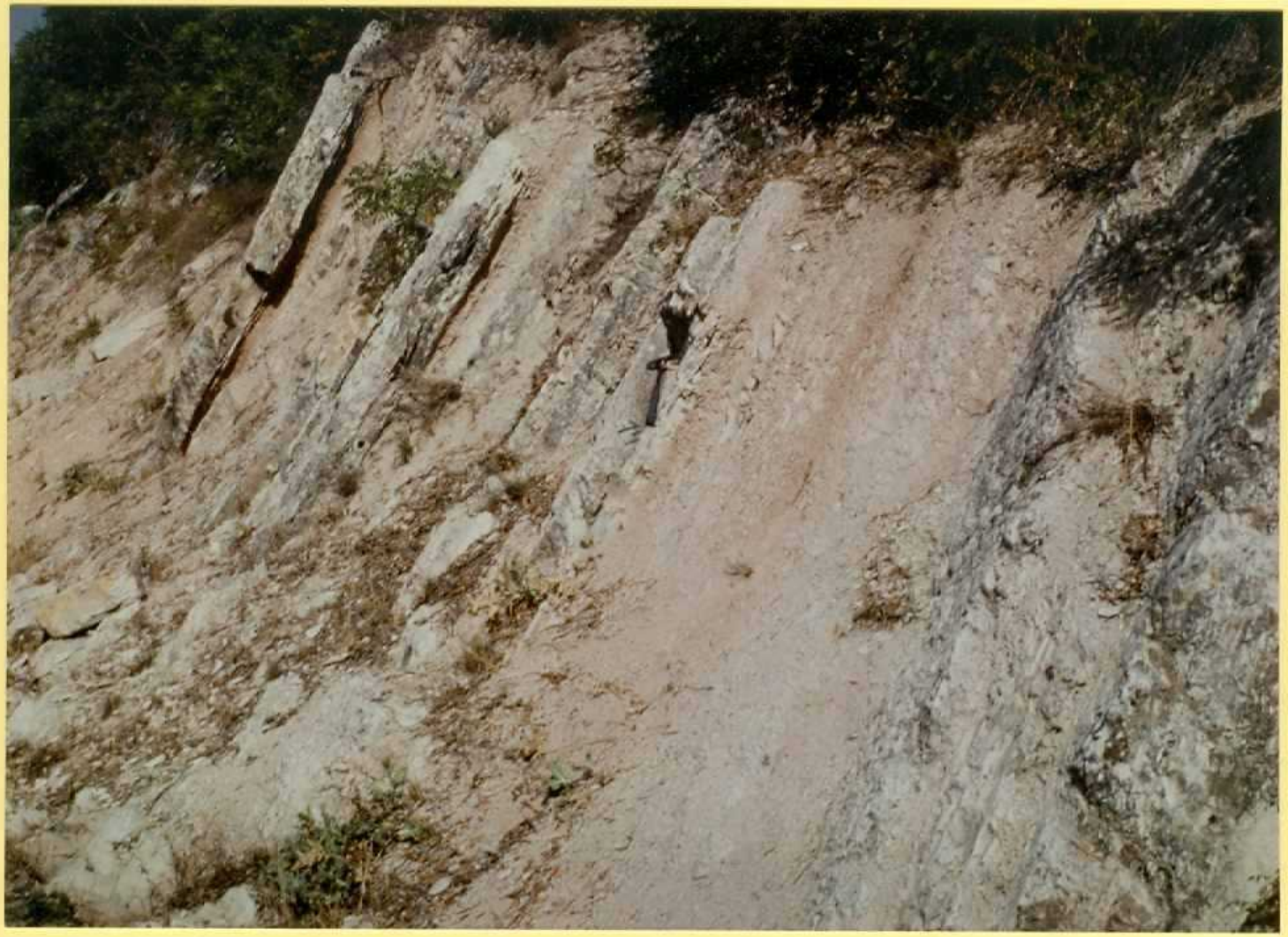
9301 Cabalgamiento de los materiales mesozoicos.(4) de la Sierra de la Ermita. (5) sobre unidades del Subbético Externo.(1)- Caliza oolítica del Dogger. (2)- Calizas nodulosas rojas (facies ammonítico rosso) del Malm.(3) Margas y margocalizas del Cretácico inferior.



9302 Vista de la Sierra de la Ermita desde otra perspectiva.



9303 Superposición tectónica de los materiales triásicos (1) sobre las margas y margocalizas del Cretácico inferior (2).



9304 Margas y margocalizas rojas (Capas rojas) del Cretácico superior-Eoceno.



9305 Detalle de la serie turbidítica del Aptiense-Albiense de las Unidades Intermedias.



9306 Idem de la 9305



9307 Barras biocalcareníticas del Aquitaniense.



9308 Contacto discordante entre las calizas oolíticas del Dogger (1) y las brechas (canchales) del Burdigaliense-Langhiense inferior.



9309 Detalle de las brechas de la fotografía anterior.



9310 Las mismas brechas de las fotografías anteriores intercaladas en margas de edad Burdigaliense superior-Langhiense inferior.



9311 Brechas del Burdigaliense superior-Langhiense inferior en la pista de Carcabuey a Luque, al norte de la Sierra Alcaide.



9312 Contacto de las brechas de la fotografía anterior. (2) sobre las dolomías y calizas del Lías inferior y medio (1). (3) Intercalación biocalcarenítica dentro de las brechas.



9313 Afloramiento de las dolomías del Lías inferior.



9314 Detalle de la fotografía anterior.



9315 Vista panorámica de la Sierra de Rute.



9316 Afloramiento de materiales triásicos.